

## Ammonium, trihalométhanes et dichloroéthane

L'analyse de tendance ci-dessous concerne les résultats rapportés entre 2010 et 2018 dans le plan de contrôle de l'AFSCA pour l'ammonium ( $n = 385$ ), les trihalométhanes ( $n = 587$ ) et le 1,2-dichloroéthane ( $n = 651$ ) dans l'eau destinée à la consommation et utilisée par les opérateurs.

### 1. Ammonium

Pour l'analyse des tendances et dans les figures ci-dessous les teneurs sont exprimées en mg/L.

Matrix	Samples	Non-detects	Years	Annual change *	P-value	Interpretation
Eau	222	192 (86%)	9	0.885	0.209	Non-significant trend
<i>Eau de source</i>	83	74 (89%)	9	0.777	0.181	Non-significant trend
<i>Eau de table</i>	81	70 (86%)	9	0.975	0.892	Non-significant trend
<i>Eau minérale naturelle</i>	43	38 (88%)	3	1.317	0.636	Non-significant trend
<i>Eau de distribution</i>	8	7 (88%)	3	0.023	0.000	Decreasing trend <sup>(1)</sup>
<i>Eau</i>	6	2 (33%)	1	NA	NA	NP
<i>Eau de puits</i>	1	1 (100%)	1	NA	NA	NP
Eau utilisée dans les préparations	163	96 (59%)	9	0.971	0.643	Non-significant trend
<i>Eau de puits utilisée dans les préparations</i>	138	77 (56%)	9	0.994	0.923	Non-significant trend
<i>Eau de distribution traitée utilisée dans des préparations</i>	1	1 (100%)	1	NA	NA	NP
<i>Eau recyclée utilisée dans des préparations</i>	7	6 (86%)	5	1.070	0.893	Non-significant trend
<i>Eau de surface utilisée dans des préparations</i>	8	7 (88%)	5	0.874	0.701	Non-significant trend
<i>Eau utilisée dans des préparations</i>	9	5 (56%)	1	NA	NA	NP

\* coefficient du modèle de régression ou le rapport entre la valeur ajustée pour l'année X par rapport à l'année (X-1);

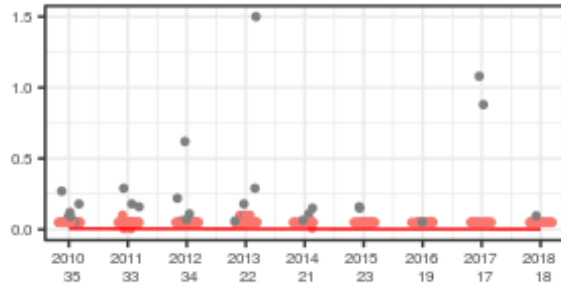
NP: no trend analysis possible; NA: not available

<sup>(1)</sup> nombre limité de résultats ; la tendance est déterminée par 1 résultat > LOR

axe Y : teneur en ammonium (mg/L) ; axe X : année + nombre d'échantillons ;  
 les résultats inférieurs à la limite de rapportage (observations "censurées à gauche") sont marqués en rouge

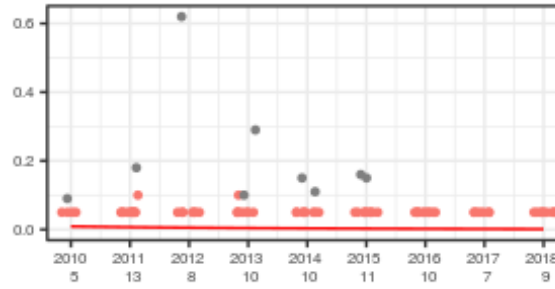
Eau

annual change: 0.885 (P = 0.209)



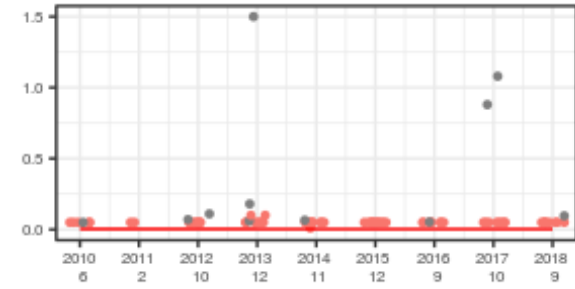
Eau de source

annual change: 0.777 (P = 0.181)



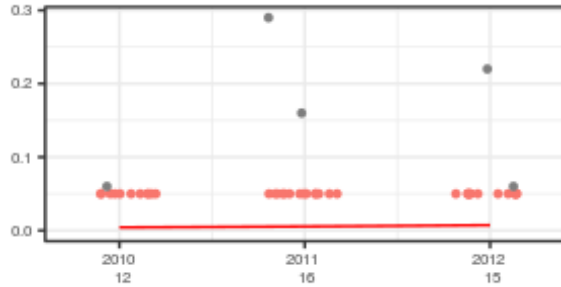
Eau de table

annual change: 0.975 (P = 0.892)



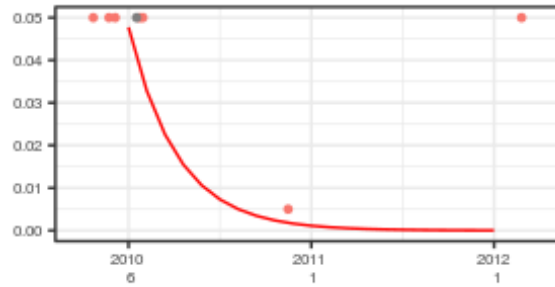
Eau minérale naturelle

annual change: 1.317 (P = 0.636)



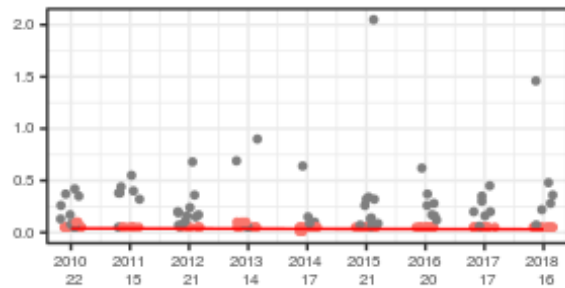
Eau de distribution

annual change: 0.023 (P < 0.001)



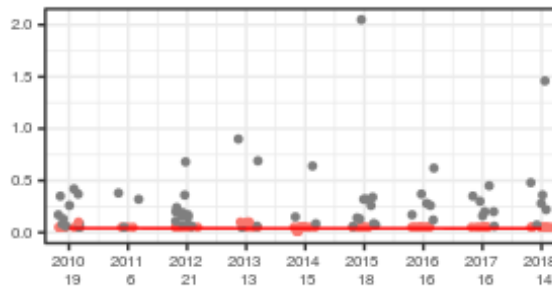
Eau utilisée dans les préparations

annual change: 0.971 (P = 0.643)



Eau de puits utilisée dans les préparations

annual change: 0.994 (P = 0.923)



## 2. Trihalométhanes (somme)

Pour l'analyse des tendances et dans les figures ci-dessous les teneurs sont exprimées en µg/L.

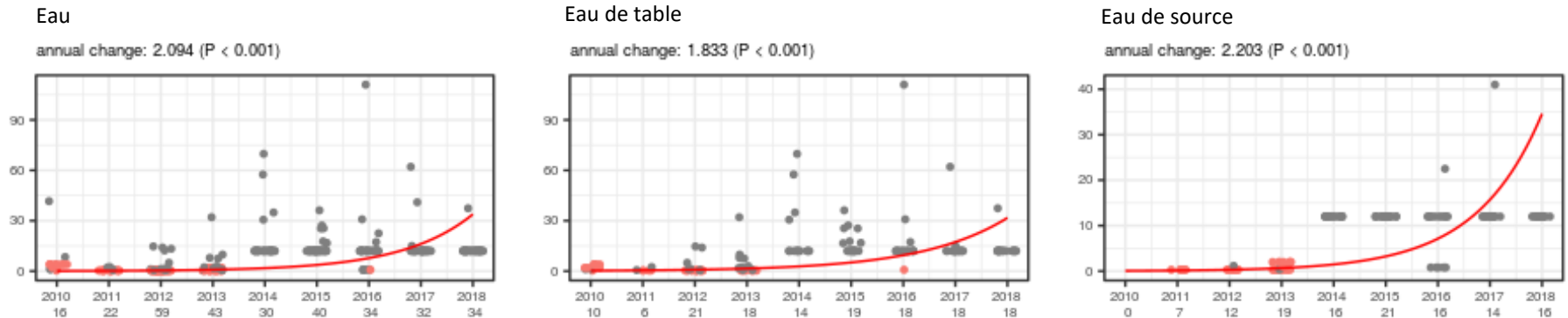
Matrix	Samples	Non-detects	Years	Annual change *	P-value	Interpretation
<b>Eau</b>	<b>310</b>	<b>109 (35%)</b>	<b>9</b>	<b>2.094</b>	<b>0</b>	<b>Increasing trend</b>
<i>Eau de distribution</i>	9	3 (33%)	3	1.109	0.882	Non-significant trend
<i>Eau de puits</i>	2	1 (50%)	2	0.705	0.000	Decreasing trend <sup>(1)</sup>
<i>Eau de table</i>	142	34 (24%)	9	1.833	0.000	Increasing trend
<i>Eau de source</i>	121	36 (30%)	8	2.203	0.000	Increasing trend
<i>Eau minérale naturelle</i>	36	35 (97%)	3	2.684	0.549	Non-significant trend
<b>Eau utilisée dans les préparations</b>	<b>277</b>	<b>81 (29%)</b>	<b>9</b>	<b>1.779</b>	<b>0</b>	<b>Increasing trend</b>
<i>Eau de distribution traitée utilisée dans des préparations</i>	1	0 (0%)	1	NA	NA	NP
<i>Eau recyclée utilisée dans des préparations</i>	31	3 (10%)	8	1.229	0.076	Non-significant trend
<i>Eau de puits utilisée dans les préparations</i>	220	69 (31%)	9	1.861	0.000	Increasing trend
<i>Eau de surface utilisée dans des préparations</i>	13	0 (0%)	7	0.899	0.507	Non-significant trend
<i>Eau utilisée dans des préparations</i>	12	9 (75%)	1	NA	NA	NP

\* coefficient du modèle de régression ou le rapport entre la valeur ajustée pour l'année X par rapport à l'année (X-1);

NP: no trend analysis possible; NA: not available

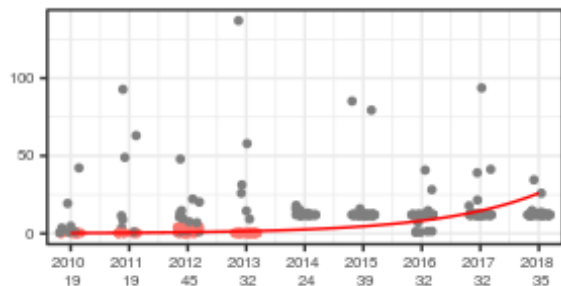
<sup>(1)</sup> résultats insuffisants (n = 2) - tendance non pertinente

axe Y : teneur en trihalométhanes (µg/L) ; axe X : année + nombre d'échantillons ;  
les résultats inférieurs à la limite de rapportage (observations "censurées à gauche") sont marqués en rouge



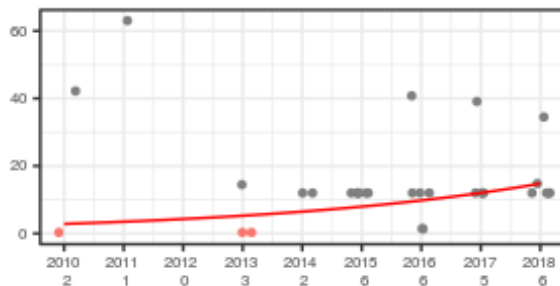
Eau utilisée dans les préparations

annual change: 1.779 (P < 0.001)



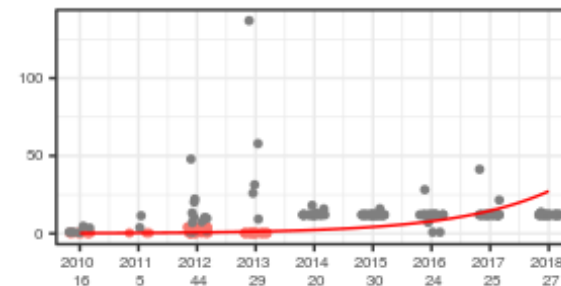
Eau recyclée utilisée dans les préparations

annual change: 1.229 (P = 0.076)



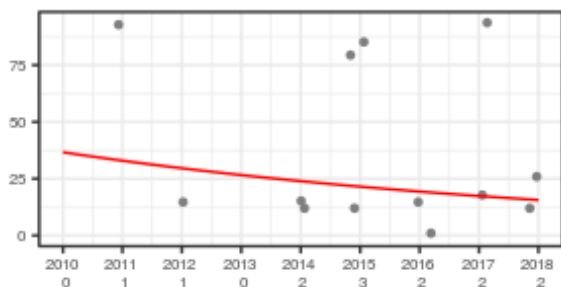
Eau de puits utilisée dans les préparations

annual change: 1.861 (P < 0.001)



Eau de surface utilisée dans les préparations

annual change: 0.899 (P = 0.507)



### 3. 1,2-dichloroéthane

Pour l'analyse des tendances et dans les figures ci-dessous les teneurs sont exprimées en µg/L.

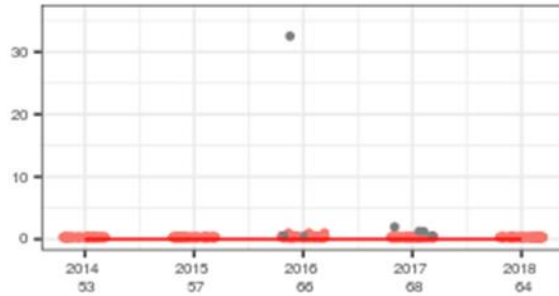
Matrix	Samples	Non-detects	Years	Annual change *	P-value	Interpretation
Eau	308	300 (97%)	5	1.44	0.417	Non-significant
<i>Eau de source</i>	164	162 (99%)	5	0.224	0.149	Non-significant
<i>Eau de table</i>	144	138 (96%)	5	1.363	0.408	Non-significant
Eau utilisée dans les préparations	343	333 (97%)	5	1.276	0.406	Non-significant
<i>Eau recyclée utilisée dans des préparations</i>	60	59 (98%)	5	0.884	0.739	Non-significant
<i>Eau de surface utilisée dans des préparations</i>	27	26 (96%)	5	0.993	0.973	Non-significant
<i>Eau de puits utilisée dans les préparations</i>	256	248 (97%)	5	1.516	0.290	Non-significant

\* coefficient du modèle de régression ou le rapport entre la valeur ajustée pour l'année X par rapport à l'année (X-1)

axe Y : teneur en 1,2-dichloroéthane ( $\mu\text{g/L}$ ) ; axe X : année + nombre d'échantillons ;  
 les résultats inférieurs à la limite de rapportage (observations "censurées à gauche") sont marqués en rouge

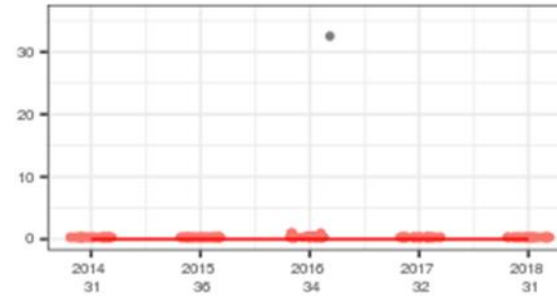
Eau

annual change: 1.44 (P = 0.417)



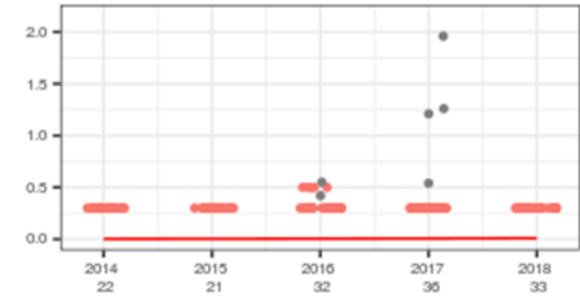
Eau de source

annual change: 0.224 (P = 0.149)



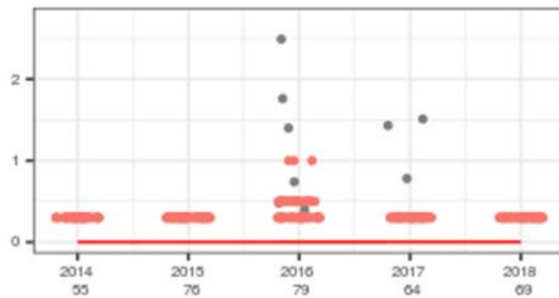
Eau de table

annual change: 1.363 (P = 0.408)



Eau utilisée dans les préparations

annual change: 1.276 (P = 0.406)



Eau de puits utilisée dans les préparations

annual change: 1.516 (P = 0.29)

